

School of Professor V.G.Makats
(Ukraine - prof.Makats@gmail.com)

MAKATS O.D.



IDENTIFICATION OF SYSTEM DEPENDENCE AS A PROBLEM OF FUNCTIONAL VEGETOLOGY AND ZHEN-TSZYU THERAPY
(FINAL INFORMATION)

Junior research (European centre for postgraduate education of doctors of the PO the "Ukrainian national Academy of Sciences")

Summary. The given article gives the complete data on the section "Identification of systemic dependence as a problem of functional vegetology and traditional Zhen-Tszyu therapy". Forgotten knowledge of previous civilizations should become clear and accessible through their scientific adaptation and belong to modern society. The improved methodology of visualization of experimental materials is aimed at confirming their biophysical reality, vegetative nature and requires attention of general practitioners and rehabilitation specialists.

Key words: functional vegetology, theory and practice of traditional Zhen-Tszyu therapy,

Резюме. В наведеній статті приводяться дані по розділу "Ідентифікація системної залежності як проблема функціональної вегетології і традиційної Чжень-цзю терапії". Забуті знання попередніх цивілізацій повинні стати зрозумілими і доступними через їх наукову адаптацію і належати сучасному суспільству. Удосконалена методологія візуалізації експериментальних матеріалів спрямована на підтвердження їх біофізичної реальності, вегетативної сутності і вимагає уваги лікарів загальної практики та реабілітологів.

Ключові слова: функціональна вегетологія, теорія і практика традиційної Чжень-цзю терапії,

Резюме. В статье приводятся заключительные научные данные по разделу "Системно-вегетативная зависимость как проблема функциональной вегетологии и традиционной Чжень-цзю терапии". Забытые знания предыдущих цивилизаций должны стать понятными и доступными через их научную адаптацию и принадлежать современному обществу. Усовершенствованная методология визуализации экспериментальных материалов направлена на подтверждение их биофизической реальности, вегетативной сущности и требует внимания врачей общей практики и реабилитологов.

Ключевые слова: функциональная вегетологии, теория и практика традиционной Чжень-цзю терапии,

Introduction

Legends about hypothetical acupunctural channels, which during centuries separated therapeutic philosophies of the East and West have been disclosed! Methodology of identification, based on functional-vegetative diagnostics (according to V. Makats), allowed proving their biophysical reality and to reveal previously unknown functional-vegetative system of human [3,c.75; 4,c.12; 6,c.123].

Materials and methods

In order to understand the methodology for the "Identification of acupunctural channels", let us observe the results of 24 functional diagnostics (FVD) that were conducted according to the method of V.G. Makats. The sequence of their location within the table 1 is random, with the corresponding value of the activity of separate channels.

The principle moment in the identification of acupunctural channels is in the vertically arranged dynamics (with regard to excitation or oppression) of the activity of the selected channel for the analysis, which conditions corresponding horizontal arrangement of the dependent systemic rows.

Let us use examples to clarify the outcomes of the elaborated methodology.

Example-1.

Let us observe basic table. The activity of its acupunctural channels (LU-LI-ST-SR-HT-SI-BL-KI-PC-TE-GB-LR) is represented in the series of performed diagnostics (FVD) №1-24. Table 1 is random, disordered by **BL**... Acupunctural channels are not identified (fig.1)

Table 1

Is organized in the order of FVD (data of individual diagnostics disordered (random) by ±BL activity).

№	±BL	GB	ST	SP	LR	KI	SI	TE	LI	LU	PC	HT
1	-6,42	-0,13	-0,12	-2,48	0,23	0,46	0,70	1,86	1,71	1,78	1,39	1,22
2	5,48	-0,64	-1,01	4,17	-0,99	-0,30	-1,32	-1,95	-1,79	-0,74	-0,38	-0,36

3	-0,50	-0,02	0,00	-0,34	0,11	0,47	-0,09	-0,19	-0,10	0,31	0,35	0,32
4	0,39	-0,20	-0,06	0,43	-0,03	0,57	-0,26	-0,76	-0,53	0,14	0,16	0,22
5	-8,32	-0,94	0,82	-2,61	0,35	-0,70	1,38	3,24	1,70	1,83	1,98	1,37
6	6,53	-0,69	-1,24	4,03	-0,95	-0,21	-1,48	-2,23	-2,18	-0,80	-0,28	-0,34
7	-1,47	0,09	0,15	-0,83	0,19	0,61	-0,14	0,17	0,11	0,48	0,50	0,43
8	9,47	-0,82	-1,75	6,80	-1,69	-0,13	-2,65	-2,77	-2,71	-1,62	-0,92	-0,95
9	-3,46	0,15	0,14	-1,83	0,27	0,70	0,14	0,83	0,81	0,95	0,79	0,79
10	8,45	-0,57	-1,36	5,38	-1,33	-0,40	-1,85	-2,49	-2,16	-1,45	-0,97	-1,00
11	-7,34	-0,62	-0,47	-3,64	-0,55	-0,20	1,45	3,43	2,95	2,20	1,59	1,44
12	1,49	-0,28	-0,37	1,16	-0,27	0,23	-0,38	-0,93	-0,67	-0,01	0,05	0,07
13	-4,45	0,23	0,13	-2,30	0,39	0,44	0,28	1,55	1,26	1,39	0,80	0,62
14	15,5	-1,67	-2,56	9,21	-2,63	-1,48	-1,73	-3,48	-3,34	-2,78	-2,32	-2,48
15	-2,49	0,10	0,01	-1,43	0,23	0,52	0,03	0,70	0,54	0,73	0,66	0,60
16	10,5	-1,40	-1,22	6,44	-1,38	-0,24	-2,41	-2,77	-2,85	-1,25	-1,39	-1,81
17	-9,33	0,75	0,21	-0,92	0,85	-1,86	2,74	1,60	1,65	2,02	0,98	1,62
18	2,46	-0,43	-0,57	1,68	-0,58	0,06	-0,36	-1,27	-0,96	0,02	0,05	0,03
19	-10,0	2,91	3,85	-0,67	-1,69	-2,89	-3,46	4,87	7,42	-6,08	7,81	-1,63
20	-5,44	0,02	-0,03	-2,63	0,30	0,82	0,38	1,39	1,37	1,75	1,45	0,88
21	3,45	-0,50	-0,52	2,23	-0,50	0,18	-0,60	-1,65	-1,33	-0,31	-0,20	-0,12
22	7,48	-1,00	-1,11	5,10	-1,22	-0,28	-1,87	-2,34	-2,07	-1,12	-0,75	-0,63
23	4,47	-0,68	-0,93	3,12	-0,71	-0,15	-0,86	-1,81	-1,54	-0,43	-0,18	-0,12
24	15,5	-0,13	-0,12	-2,48	0,23	0,46	0,70	1,86	1,71	1,78	1,39	1,22

In the chaotic (\pm BL) sequence of performed diagnostics (FVD) the identification of "acupuncture channels" is impossible (tab.1, fig.1).

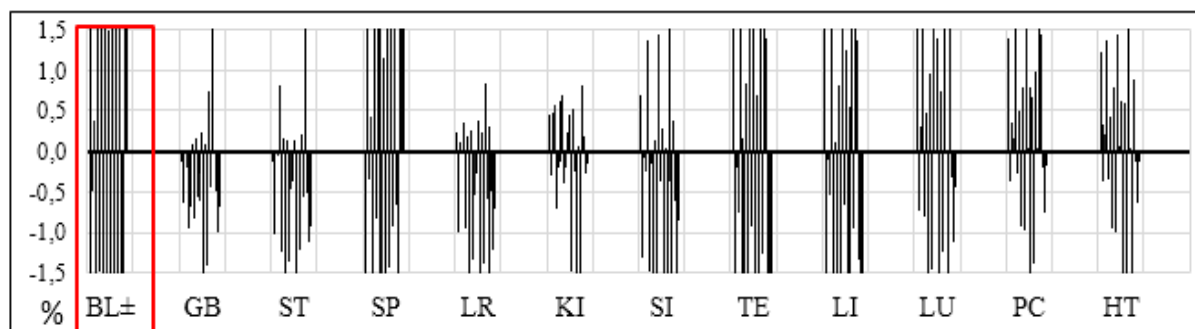


Fig. 1 Identification of channels at \pm BL is impossible

Example-2.

On the basis of the main table 1, the activity of the channel \pm BL is ordered according to the growth of its activity (tab. 2). In this case appears the identification of "acupunctural channels" (fig.2)! Here, the question appears about the reality of intersystem dependency and the possibility of its further identification...

Table 2

Data in the table 2.1 arranged according to the growth of the activity of the channel BL

№	\pm BL	GB	ST	SP	LR	KI	SI	TE	LI	LU
19	-10,0	2,91	3,85	-0,67	-1,69	-2,89	-3,46	4,87	7,42	-6,08
17	-9,33	0,75	0,21	-0,92	0,85	-1,86	2,74	1,60	1,65	2,02
5	-8,32	-0,94	0,82	-2,61	0,35	-0,70	1,38	3,24	1,70	1,83
11	-7,34	-0,62	-0,47	-3,64	-0,55	-0,20	1,45	3,43	2,95	2,20
1	-6,42	-0,13	-0,12	-2,48	0,23	0,46	0,70	1,86	1,71	1,78
20	-5,44	0,02	-0,03	-2,63	0,30	0,82	0,38	1,39	1,37	1,75
13	-4,45	0,23	0,13	-2,30	0,39	0,44	0,28	1,55	1,26	1,39
9	-3,46	0,15	0,14	-1,83	0,27	0,70	0,14	0,83	0,81	0,95
15	-2,49	0,10	0,01	-1,43	0,23	0,52	0,03	0,70	0,54	0,73
7	-1,47	0,09	0,15	-0,83	0,19	0,61	-0,14	0,17	0,11	0,48
3	-0,50	-0,02	0,00	-0,34	0,11	0,47	-0,09	-0,19	-0,10	0,31
4	0,39	-0,20	-0,06	0,43	-0,03	0,57	-0,26	-0,76	-0,53	0,14

12	1,49	-0,28	-0,37	1,16	-0,27	0,23	-0,38	-0,93	-0,67	-0,01
18	2,46	-0,43	-0,57	1,68	-0,58	0,06	-0,36	-1,27	-0,96	0,02
21	3,45	-0,50	-0,52	2,23	-0,50	0,18	-0,60	-1,65	-1,33	-0,31
23	4,47	-0,68	-0,93	3,12	-0,71	-0,15	-0,86	-1,81	-1,54	-0,43
2	5,48	-0,64	-1,01	4,17	-0,99	-0,30	-1,32	-1,95	-1,79	-0,74
6	6,53	-0,69	-1,24	4,03	-0,95	-0,21	-1,48	-2,23	-2,18	-0,80
22	7,48	-1,00	-1,11	5,10	-1,22	-0,28	-1,87	-2,34	-2,07	-1,12
10	8,45	-0,57	-1,36	5,38	-1,33	-0,40	-1,85	-2,49	-2,16	-1,45
8	9,47	-0,82	-1,75	6,80	-1,69	-0,13	-2,65	-2,77	-2,71	-1,62
16	10,5	-1,40	-1,22	6,44	-1,38	-0,24	-2,41	-2,77	-2,85	-1,25
14	15,5	-1,67	-2,56	9,21	-2,63	-1,48	-1,73	-3,48	-3,34	-2,78

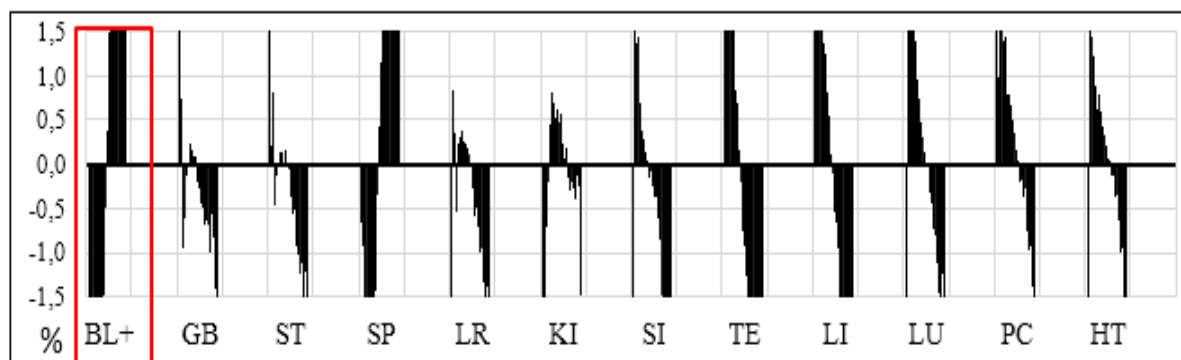


Fig.2 Identification of "acupunctural channels" during the excitation of BL

The question appears about the reality of identification of system dependency in the case of oppression of activity on the mentioned channel BL.

Example-3.

On the basis of the basic table 1 the activity of the channel BL is ordered according to the growth of its activity (tab. 3). In this case appears the identification of "acupunctural channels" (fig.3)! Here, the question appears about the reality of intersystem dependency and the possibility of its further identification...

Table 3

Data of the table 1 is arranged according to the activity regression of BL.

N _o	-BL	GB	ST	SP	LR	KI	SI	TE	LI	LU	PC	HT
14	15,5	-1,67	-2,56	9,21	-2,63	-1,48	-1,73	-3,48	-3,34	-2,78	-2,32	-2,48
16	10,5	-1,40	-1,22	6,44	-1,38	-0,24	-2,41	-2,77	-2,85	-1,25	-1,39	-1,81
8	9,47	-0,82	-1,75	6,80	-1,69	-0,13	-2,65	-2,77	-2,71	-1,62	-0,92	-0,95
10	8,45	-0,57	-1,36	5,38	-1,33	-0,40	-1,85	-2,49	-2,16	-1,45	-0,97	-1,00
22	7,48	-1,00	-1,11	5,10	-1,22	-0,28	-1,87	-2,34	-2,07	-1,12	-0,75	-0,63
6	6,53	-0,69	-1,24	4,03	-0,95	-0,21	-1,48	-2,23	-2,18	-0,80	-0,28	-0,34
2	5,48	-0,64	-1,01	4,17	-0,99	-0,30	-1,32	-1,95	-1,79	-0,74	-0,38	-0,36
23	4,47	-0,68	-0,93	3,12	-0,71	-0,15	-0,86	-1,81	-1,54	-0,43	-0,18	-0,12
21	3,45	-0,50	-0,52	2,23	-0,50	0,18	-0,60	-1,65	-1,33	-0,31	-0,20	-0,12
18	2,46	-0,43	-0,57	1,68	-0,58	0,06	-0,36	-1,27	-0,96	0,02	0,05	0,03
12	1,49	-0,28	-0,37	1,16	-0,27	0,23	-0,38	-0,93	-0,67	-0,01	0,05	0,07
4	0,39	-0,20	-0,06	0,43	-0,03	0,57	-0,26	-0,76	-0,53	0,14	0,16	0,22
3	-0,50	-0,02	0,00	-0,34	0,11	0,47	-0,09	-0,19	-0,10	0,31	0,35	0,32
7	-1,47	0,09	0,15	-0,83	0,19	0,61	-0,14	0,17	0,11	0,48	0,50	0,43
15	-2,49	0,10	0,01	-1,43	0,23	0,52	0,03	0,70	0,54	0,73	0,66	0,60
9	-3,46	0,15	0,14	-1,83	0,27	0,70	0,14	0,83	0,81	0,95	0,79	0,79
13	-4,45	0,23	0,13	-2,30	0,39	0,44	0,28	1,55	1,26	1,39	0,80	0,62
20	-5,44	0,02	-0,03	-2,63	0,30	0,82	0,38	1,39	1,37	1,75	1,45	0,88
1	-6,42	-0,13	-0,12	-2,48	0,23	0,46	0,70	1,86	1,71	1,78	1,39	1,22
11	-7,34	-0,62	-0,47	-3,64	-0,55	-0,20	1,45	3,43	2,95	2,20	1,59	1,44
5	-8,32	-0,94	0,82	-2,61	0,35	-0,70	1,38	3,24	1,70	1,83	1,98	1,37
17	-9,33	0,75	0,21	-0,92	0,85	-1,86	2,74	1,60	1,65	2,02	0,98	1,62
19	-10,0	2,91	3,85	-0,67	-1,69	-2,89	-3,46	4,87	7,42	-6,08	7,81	-1,63

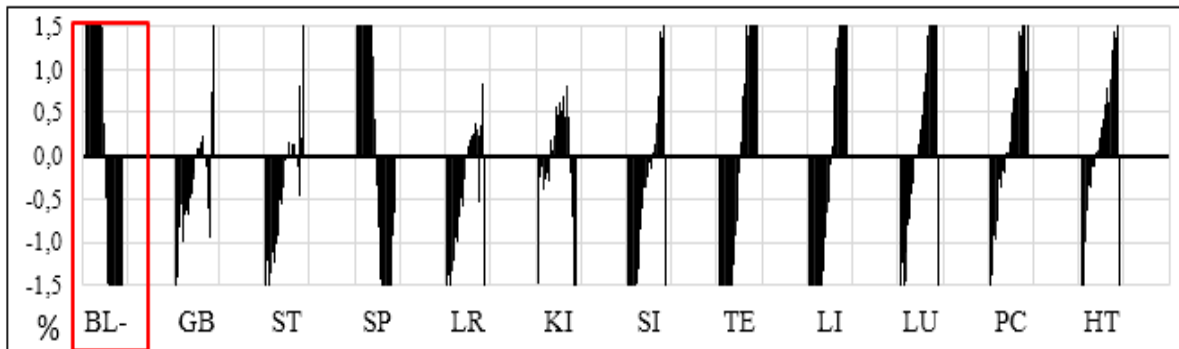


Fig. 3 Identification of the "acupuncture channels" under sequential oppression BL

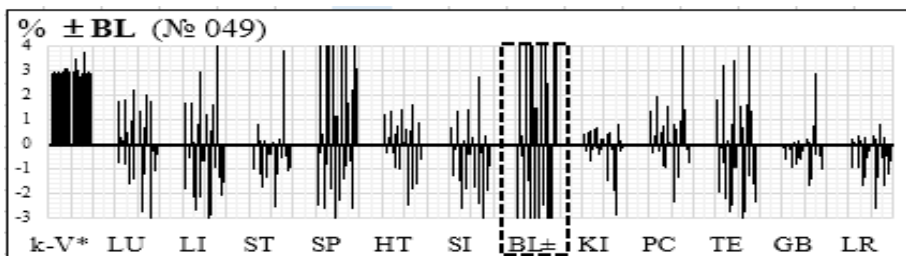
The represented materials directly testify to the probability of experimental identification of systemic interdependency of the hypothetical acupuncture channels. In other words, from now on, they have become a biophysical reality and the millennium-long issue fairly requires its place in classical physiology and empirical medicine!

But let's look at the identification of the remaining "acupuncture channels" on the base of table 1...

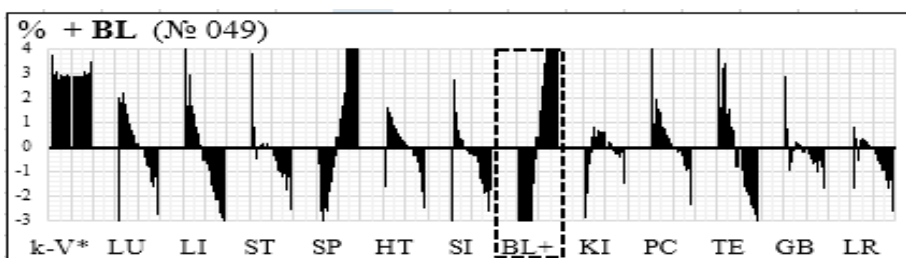
Let us have a look at the three variants of its reality in the examples of disordered (\pm), rising activity of the channel ($+$) and its oppression ($-$) (fig. 4-15)... At the same time, we draw attention that the data of FVD were individual and at the level of "vegetative equilibrium" (k-V 0,95-1,05). Therefore, the "vegetative orientation" of the channels is not subject to analysis...

Results and discussion

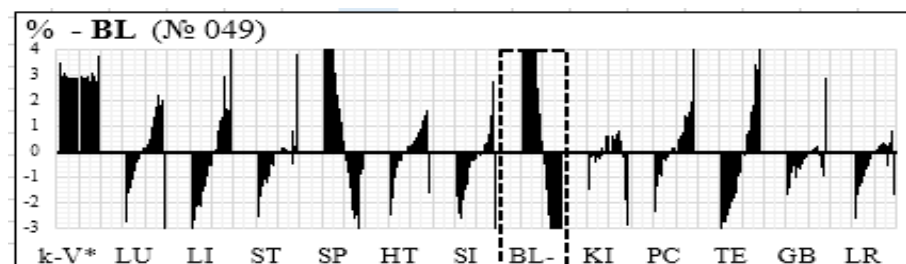
IDENTIFICATION OF SYSTEM DEPENDENCE FROM ACTIVITY BL



Identification of channels at $\pm BL$ is impossible



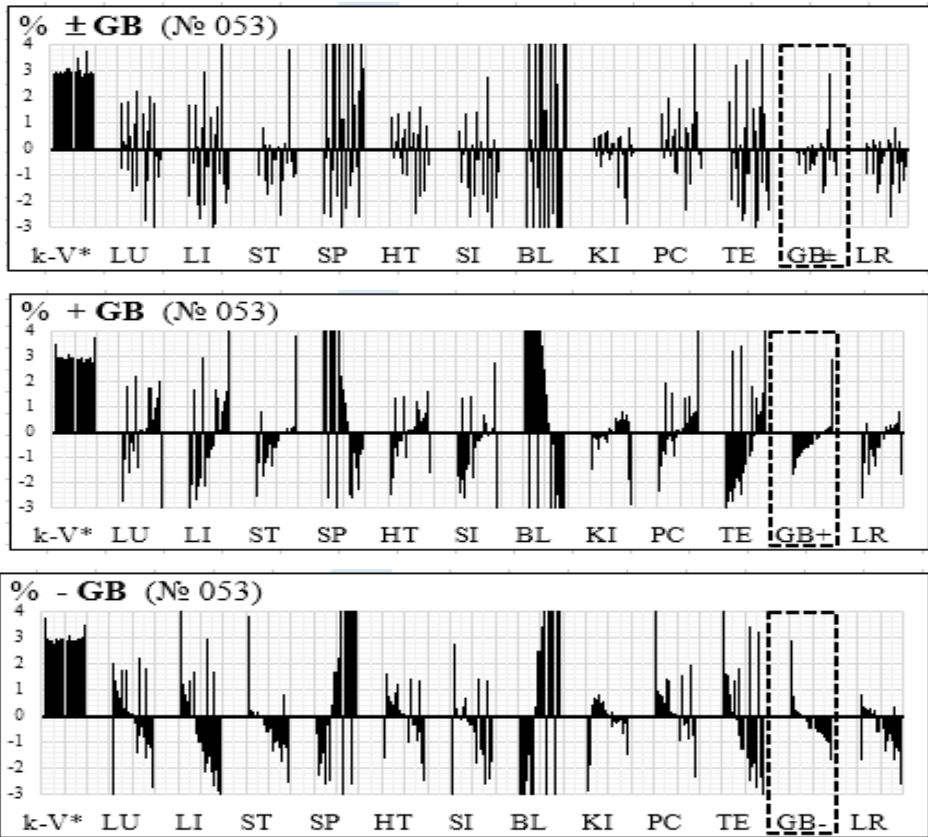
Identification of channels at $+BL$



Identification of channels at $-BL$

Fig. 4

IDENTIFICATION OF SYSTEM DEPENDENCE FROM ACTIVITY GB



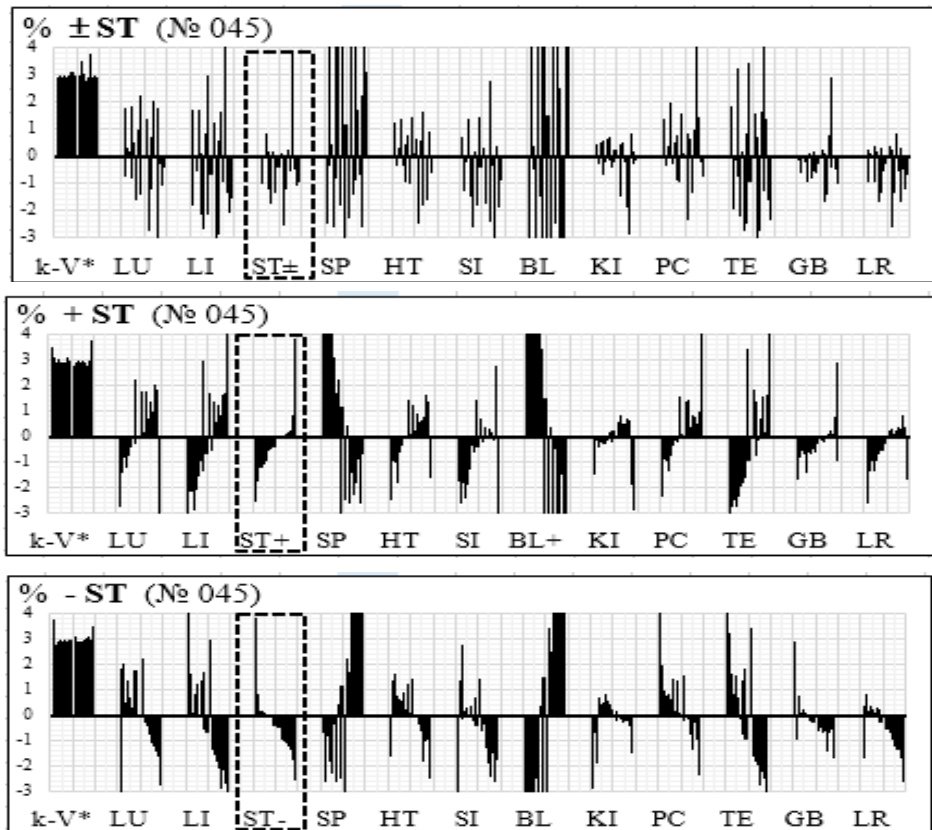
Identification of channels at \pm GB is impossible

Identification of channels at $+$ GB

Identification of channels at $-$ GB

Fig.5

IDENTIFICATION OF SYSTEM DEPENDENCE FROM ACTIVITY ST



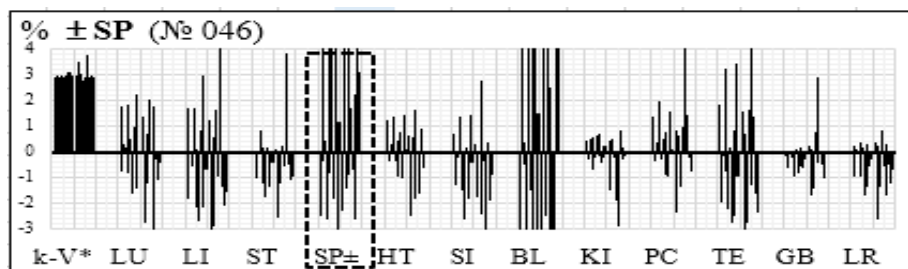
Identification of channels at \pm ST is impossible

Identification of channels at $+$ ST

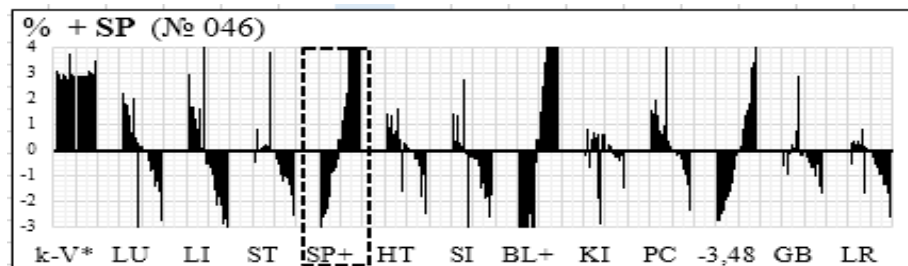
Identification of channels at $-$ ST

Fig.6

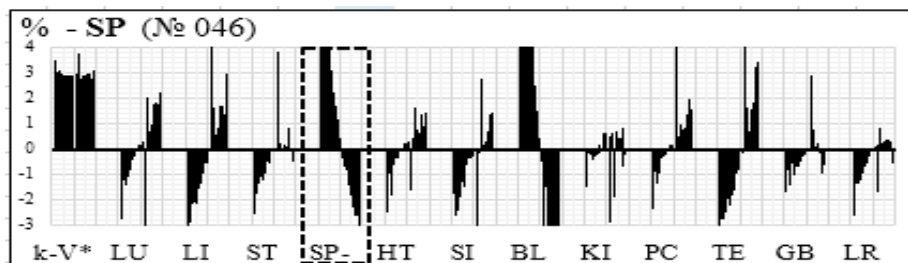
IDENTIFICATION OF SYSTEM DEPENDENCE FROM ACTIVITY SP



Identification of channels at $\pm SP$ is impossible



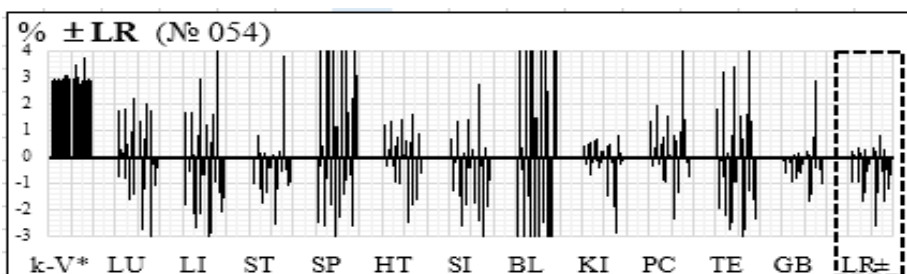
Identification of channels at $+ SP$



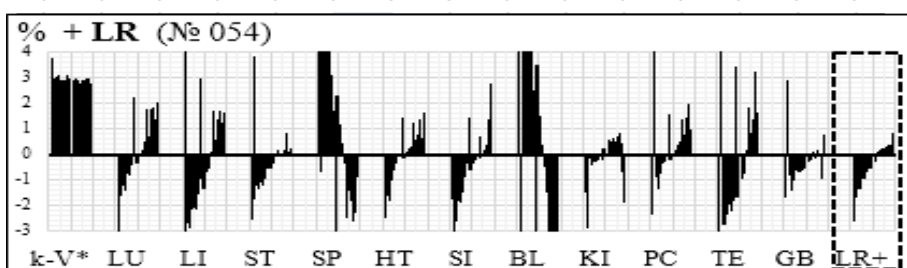
Identification of channels at $- SP$

Fig.7

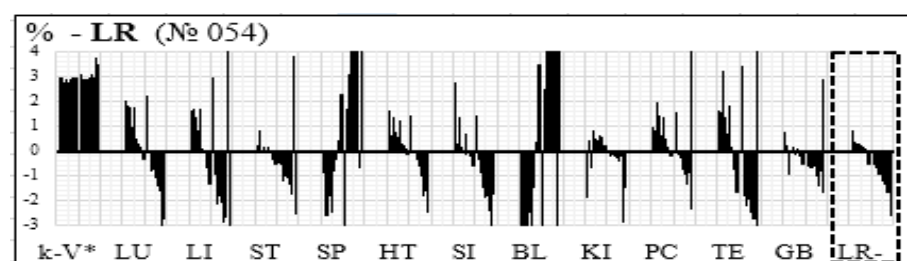
IDENTIFICATION OF SYSTEM DEPENDENCE FROM ACTIVITY LR



Identification of channels at $\pm LR$ is impossible



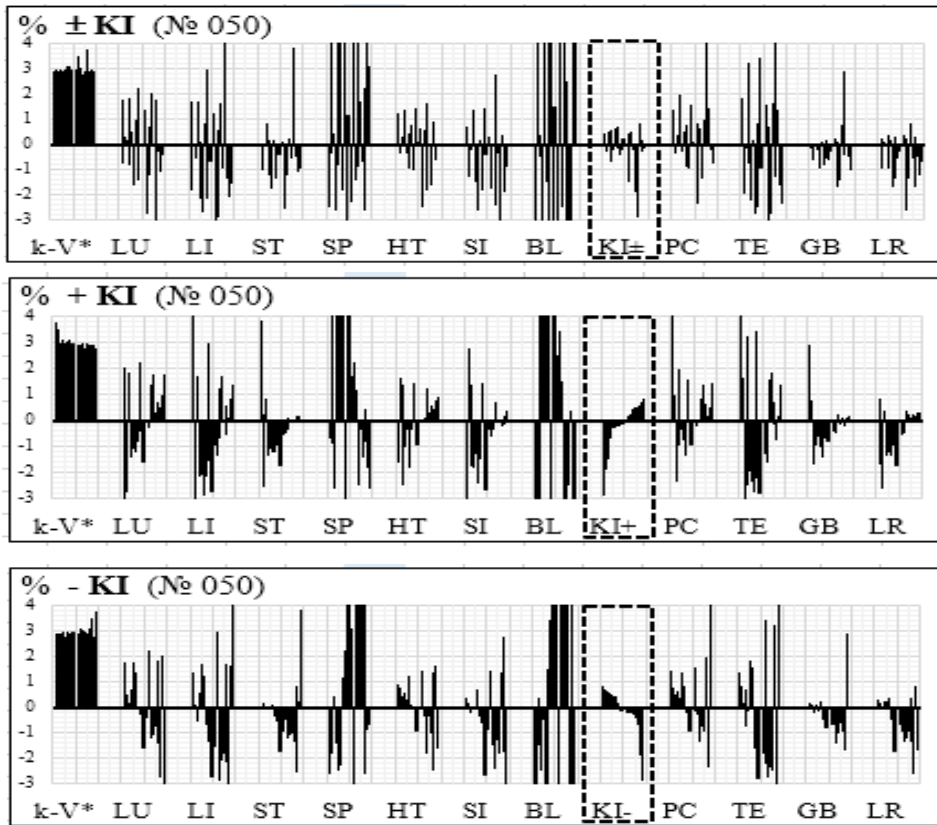
Identification of channels at $+LR$



Identification of channels at $- LR$

Fig.8

IDENTIFICATION OF SYSTEM DEPENDENCE FROM ACTIVITY KI



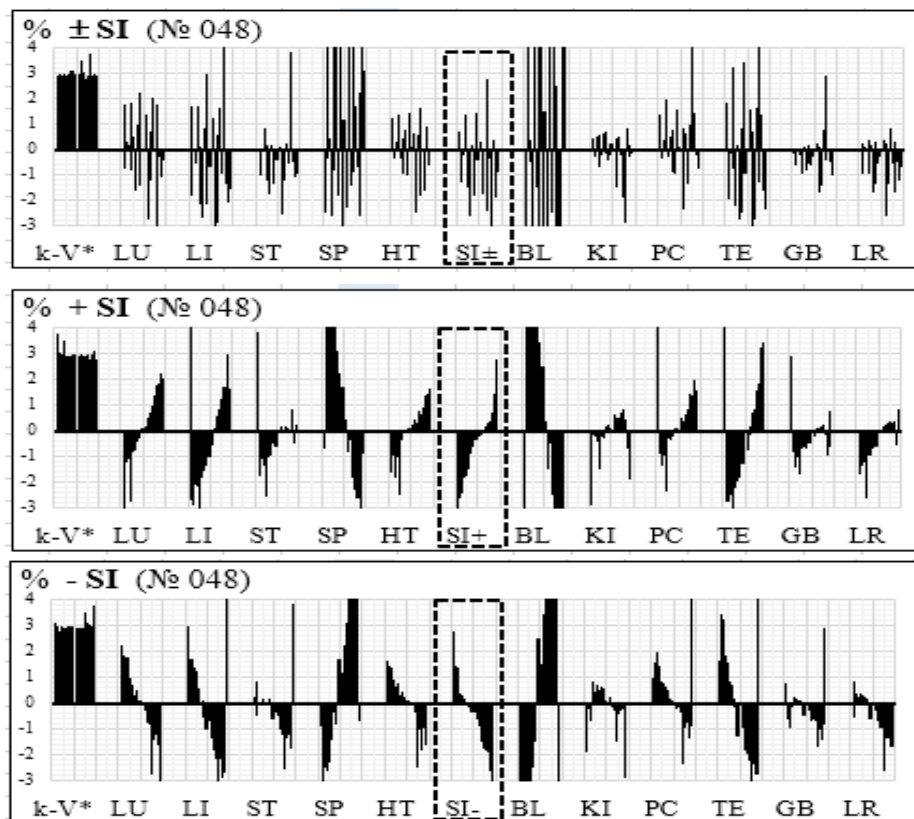
Identification of channels at $\pm KI$ is impossible

Identification of channels at $+KI$

Identification of channels at $-KI$

Fig.9

IDENTIFICATION OF SYSTEM DEPENDENCE FROM ACTIVITY SI



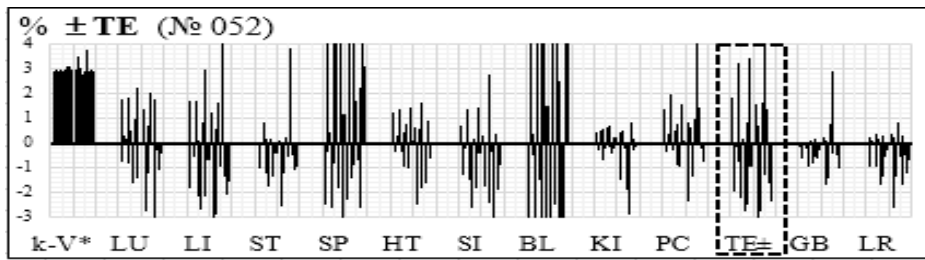
Identification of channels at $\pm SI$ is impossible

Identification of channels at $+SI$

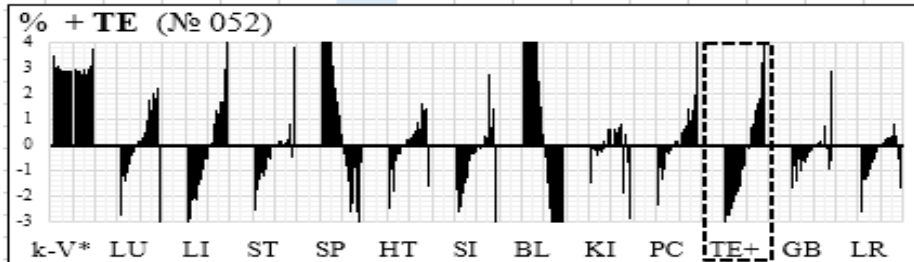
Identification of channels at $-SI$

Fig.10

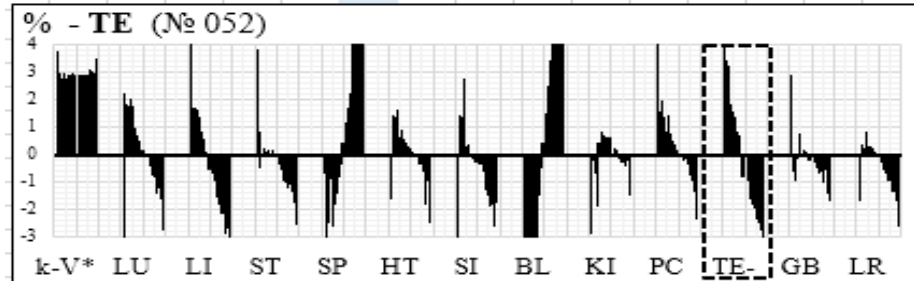
IDENTIFICATION OF SYSTEM DEPENDENCE FROM ACTIVITY TE



Identification of channels at $\pm TE$ is impossible



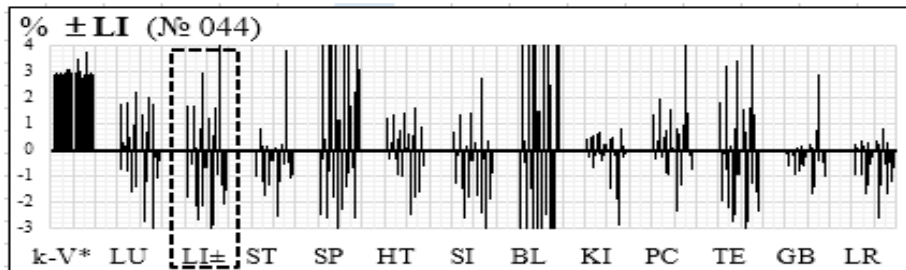
Identification of channels at $+TE$



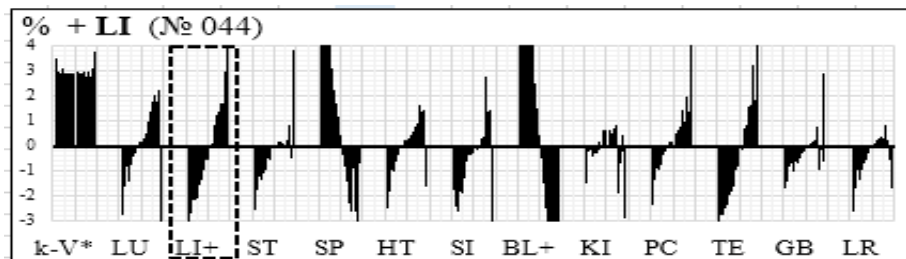
Identification of channels at $-TE$

Fig.11

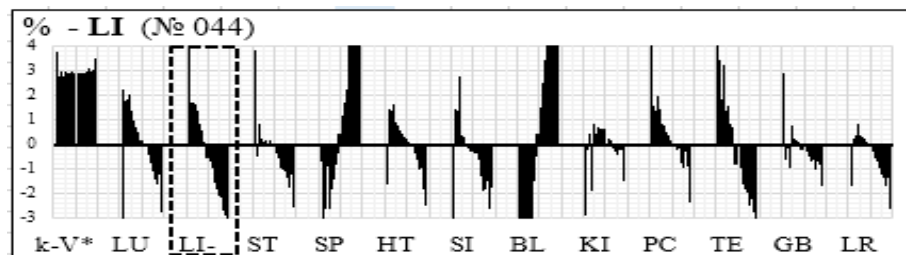
IDENTIFICATION OF SYSTEM DEPENDENCE FROM ACTIVITY LI



Identification of channels at $\pm LI$ is impossible



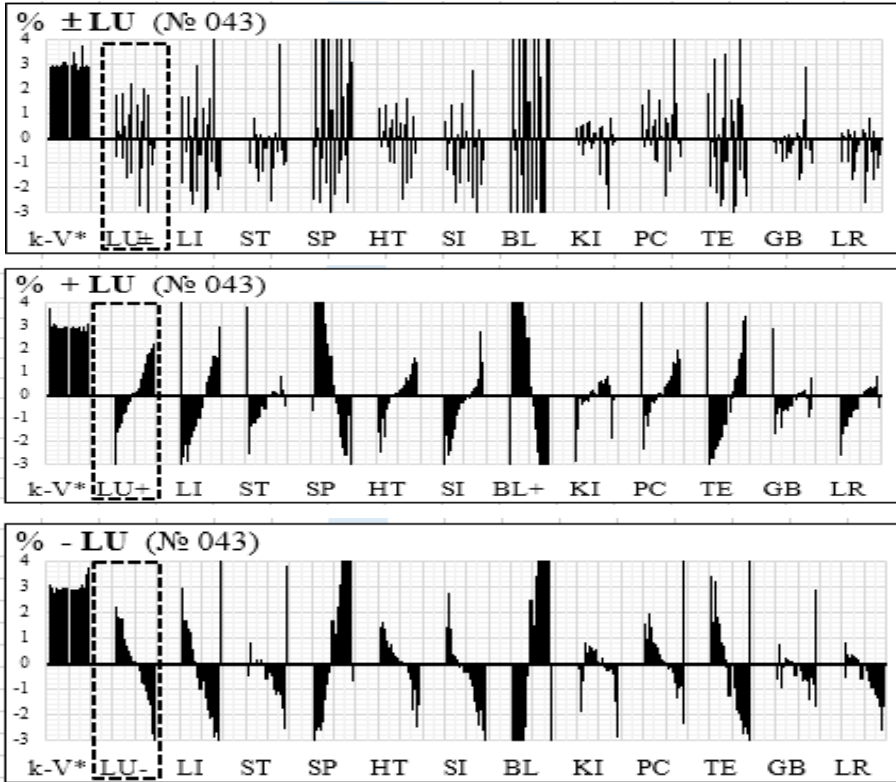
Identification of channels at $+LI$



Identification of channels at $-LI$

Fig.12

IDENTIFICATION OF SYSTEM DEPENDENCE FROM ACTIVITY LU



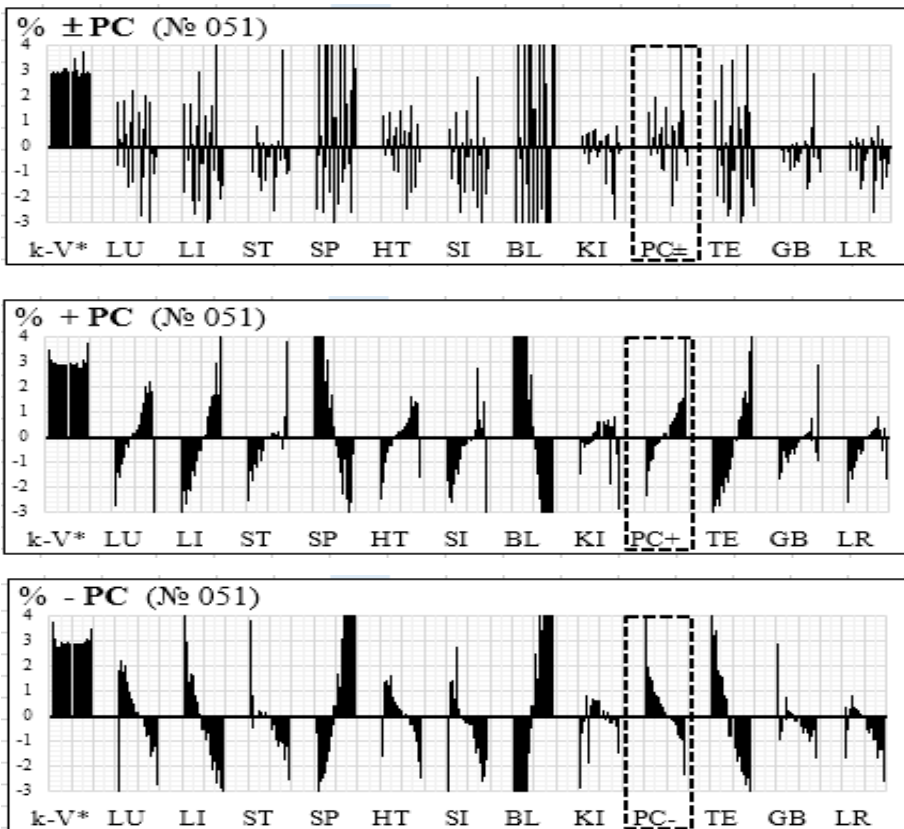
Identification of channels at $\pm LU$ is impossible

Identification of channels at $+ LU$

Identification of channels at $- LU$

Fig.13

IDENTIFICATION OF SYSTEM DEPENDENCE FROM ACTIVITY PC



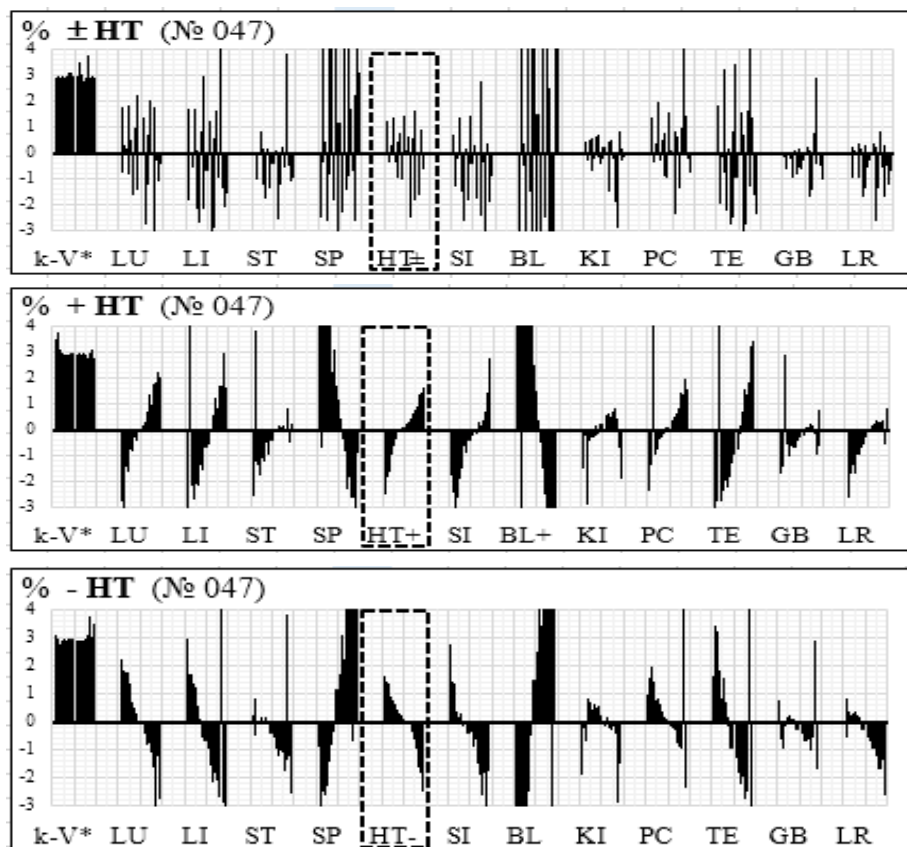
Identification of channels at $\pm PC$ is impossible

Identification of channels at $+ PC$

Identification of channels at $- PC$

Fig.14

IDENTIFICATION OF SYSTEM DEPENDENCE FROM ACTIVITY HT



Identification of channels at ± HT is impossible

Identification of channels at + HT

Identification of channels at - HT

Мал. (Fig.) 15

Conclusions and perspectives of further development

1. The elaborated methodology of identification of traditional acupunctural channels has no world analogues. It transforms hypothetical Acupuncture therapy into biophysically conditioned clinical discipline and for the first time brings closer theoretical conceptions of the Eastern and Western therapeutic philosophies...

2. The given materials testify to the biophysical reality of "acupuncture channels" and a clearly expressed systemic dependence. The latter requires careful study of the problem.

3. Judging by the reality of identification of acupunctural channels, the issue of the Chinese *Acupuncture therapy goes* beyond the borders of scholasticism and requires capacious attention of supporters of traditional therapeutic philosophy as well as of its opponents. Also, there should be noted the following: if acupunctural channels turn out to be a biophysical reality, contemporary system physiology will expect uneasy times of "reconstruction"...

References:

1.Крюк Э. Современная концептуальная модель энергоинформационного взаимодействия // Бинар Аура Z., 1977, №3 с.14-17.
 2. Лувсан Г. Очерки методов восточной рефлексотерапии (под редакцией проф. В.Н. Цибуляка и проф. И.З. Самосюка) // К., "Здоров'я", 1992. с.84-93.
 Luvsan G. *Essays on the methods of eastern reflexotherapy* (edited by Prof. V.N. Tsiulyak and Prof. I.Z. Samosyuk) // K., "Zdorovya", 1992. 231S.
 3.Макац В., Макац Є. Невідома китайська голкотерапія (реальність, помилки, проблеми) Том I // Україна, Вінниця: видавництво "Наукова ініціатива", редакція Нілан-ЛТД, 2016, 276 с. ISBN 978-966-2932-80-5
 Makats V., Makats E. *Unknown Chinese acupuncture (reality, errors, problems). v Vol. I // Ukraine, Vinnytsia: "Naukova initsiatyva", editorial office "Nilan LTD", 2016, 276 P. ISBN 978-966-2932-80-5*
 4.Макац В., Макац Є. Невідома китайська голкотерапія (біофізичний атлас системної залежності) Том II // Україна, Вінниця: видавництво "Наукова ініціатива", редакція Нілан-ЛТД, 2016, 204 с. ISBN 978-966-2932-80-5

- Makats V., Makats E. *Unknown Chinese acupuncture (biophysical atlas of systemic dependency). Vol. II // Ukraine, Vinnytsia: "Naukova initsiatyva", editorial office "Nilan LTD", 2016, 204P. ISBN 978-966-2932-80-5*
5. Макац В., Нагайчук В., Макац Є. Невідома китайська голкотерапія (проблеми функціональної вегетології) Том III // Україна, Вінниця: видавництво "Наукова ініціатива", редакція Нілан-ЛТД, 2017, 204С. ISBN 978-966-2932-80-5
- Makats V., Nahaychuk V., Makats E. *Unknown Chinese acupuncture (problems of functional vegetales). Vol. III // Ukraine, Vinnytsia: "Naukova initsiatyva", editorial office "Nilan LTD", 2017, 204P. ISBN 978-966-2932-80-5*
6. Макац В., Нагайчук В., Макац Є., Єрмішев О. Невідома китайська голкотерапія (проблеми вегетативного патогенезу) Том IV // Україна, Вінниця: видавництво "Наукова ініціатива", редакція Нілан-ЛТД, 2017, 286С. ISBN 978-966-2932-80-5
- Makats V., Nahaychuk V., Makats E., Yermyshev O. *Unknown Chinese acupuncture (problems of vegetative pathogenesis). Vol. IV // Vinnytsia: "Naukova initsiatyva", editorial office "Nilan LTD", 2017, 286P. ISBN 978-966-2932-80-5*
7. Тихоплав В., Тихоплав Т. Жизнь напрокат//ИД-"ВЕСЬ", Санкт-Петербург, 2002.с.67
8. Шуман В.О. Про безвихідні коливання провідної сфери, оточеної повітряним шаром та іоносферною оболонкою // Zeitschrift und Naturforschung 7a, 1952, s.49-154
- Schumann W.O., *Über die strahlungslosen Eigenschwingungen einer leitenden Kugel, die von einer Luftschicht und einer Ionosphärenhülle umgeben ist // Zeitschrift und Naturforschung 7a, 1952, s. 149-154*
9. Шуман В.О. Про ослаблення електромагнітних коливань системи "Земля-повітря-іоносфера" // Journal and Naturforsch 7a, 1952, s.250-252
- Schumann W.O. *Über die Dämpfung der elektromagnetischen Eigenschwingungen des tems "Erde-Luft-Ionosphäre" // Zeitschrift und Naturforschung 7a, 1952, s.250-252.*
10. Шуман В.О. Про розповсюдження довгих електромагнітних хвиль при сигналах блискавки // Nuovo Cimento 9, 1952, с.1116-1138. DOI:10.1007/BF02782924
- Schumann W.O. *Über die Ausbreitung sehr Langer elektrische Wellen um die Signale des Blitzes // Nuovo Cimento 9, 1952, p.1116-1138. DOI:10.1007 /BF 02782924*
11. <http://ruslekar.info/Rezonans-SHumana...4947.html>
12. <http://новости.ru-an.info>
13. <http://www.insiderrevelations.ru/forum/forum18/topic2809/>